ELT072

- 1) Forças e Momentos: coeficientes aerodinâmicos.
- 2) Modelo da Atmosfera Padrão (1976).

ELT072: Introdução ao Controle Automático de Aeronaves Leo Torres



Forças e Momentos Aerodinâmicos

Revisão de Aerodinâmica Básica:

- Forças Normais (distribuição de pressão) e tangenciais (forças de atrito associadas à camada limite) determinam a força e o momento resultantes em cada aerofólio do avião.
- O fluxo de ar é qualitativamente caracterizado pela razão entre forças de inércia e forças de atrito viscoso como indicado pelo **Número de Reynolds**, e por efeitos de compressibilidade caracterizados pela razão entrea velocidade do veículo em relação à atmosfera e a velocidade de propagação de ondas acústicas (som) dada pelo **Número de Mach**.

$$R_e = (\rho \ \ell \ V_T)/\mu, \qquad M = V_T/a,$$
 Reynolds Number Mach Number

Parâmetros de Similaridade em

Aerodinâmica.

Revisão de Aerodinâmica Básica:

Número de Mach (efeitos de compressibilidade):

subsonic speeds: M < 1.0

transonic speeds: $0.8 \le M \le 1.2$

supersonic speeds: 1.0 < M < 5.0

hypersonic speeds: $5.0 \le M$

Revisão de Aerodinâmica Básica:

- A Viscosidade do Ar muda principalmente devido a variações de Temperatura.
- A Density do ar muda com a Pressão e a Temperartura.
- A Velocidade do Som no ar também muda com a Temperatura.

(1976) U.S. Standard Atmosphere Model

Modelo válido para a Troposfera (0 to 11 km acima do nível do mar).

A partir da altitude em [km], podemos computar:

Temperature:
$$T=T_0+cH$$
 Pressure: $P=P_0\left(\frac{T}{T_0}\right)^{\frac{-g}{cR}}$ Density: $\rho=\rho_0\left(\frac{T}{T_0}\right)^{\frac{-g}{cR}-1}$ Sound speed: $a=\sqrt{\gamma RT}$

$$T_0 = 288.15 \text{K} (15^{\circ} \text{C}),$$

 $P_0 = 101325 \text{N/m}^2,$
 $g = 9.80665 \text{m/s}^2,$
 $\rho_0 = 1.225 \text{kg/m}^3,$
 $c = -6.5 \text{K/km},$
 $R = 287.04 \text{J/kg/K}$ and $\gamma = 1.4.$
 H is the altitude in [km].

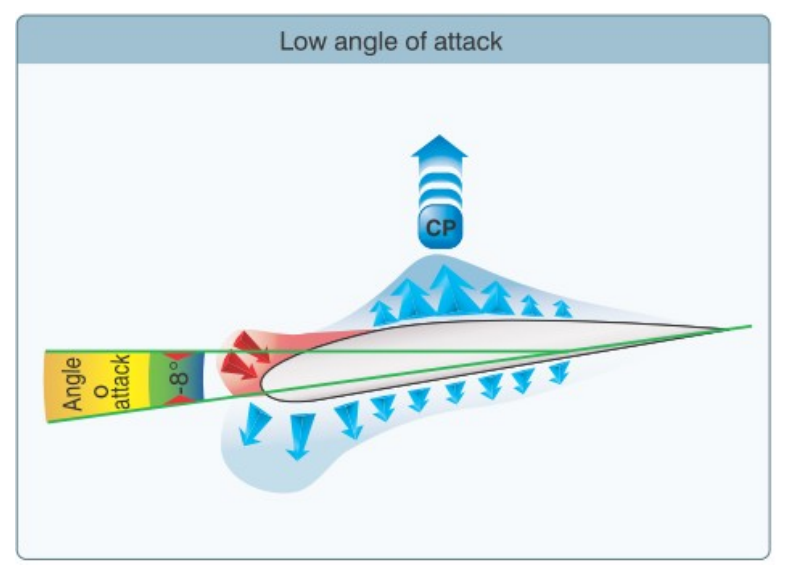
Revisão de Aerodinâmica Básica:

- Quando a velocidade do escoamento de ar não perturbado é constante, assim como a Temperatura e Pressão Atmosféricas (então viscosidade, densidade, velocidade do som, e pressão dinâmica são constantes), o principal fator na geração de forças e momentos aerodinâmicos é a direção do vento relativo (direção do escoamento não perturbado) que pode ser representada pelo ângulo de ataque α e ângulo de derrapagem β.
- Junto com α e β, outro fator importante são as áreas das superfícies superior e inferior onde a separação do fluxo de ar e turbulência levam à perda de distribuição de pressão favorável e podem causar um aumento no arrasto e uma perda significativa de sustentação: o estol do aerofólio.



Aerofólio: Centro de Pressão

Mudança do Centro de Pressão (CP) com α:



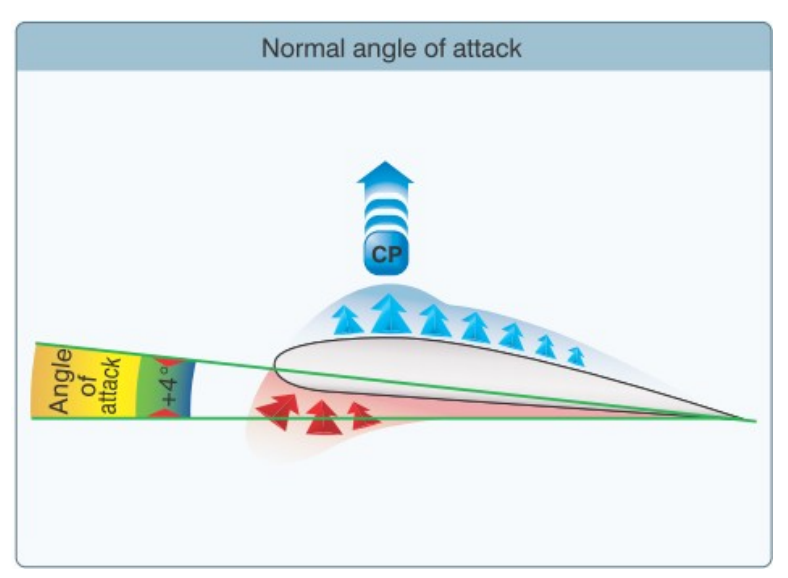
Source: FAA - Pilot Handbook of Aeronautical Knowledge 2016

- Poderíamos representar a força aerodinâmica resultante como estando aplicada ao Centro de Pressão (CP) do aerofólio.
- Mas o CP muda muito com a direção do vento relativo, e por isso não é muito útil na análise de estabilidade e controle.



Aerofólio: Centro de Pressão

Mudança do Centro de Pressão (CP) com α:



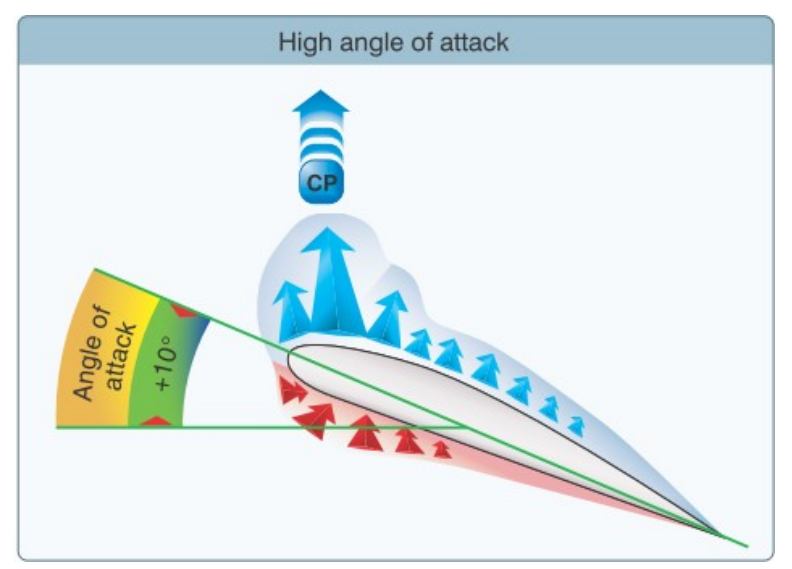
Source: FAA - Pilot Handbook of Aeronautical Knowledge 2016

- Poderíamos representar a força aerodinâmica resultante como estando aplicada ao Centro de Pressão (CP) do aerofólio.
- Mas o CP muda muito com a direção do vento relativo, e por isso não é muito útil na análise de estabilidade e controle.



Aerofólio: Centro de Pressão

Mudança do Centro de Pressão (CP) com α:



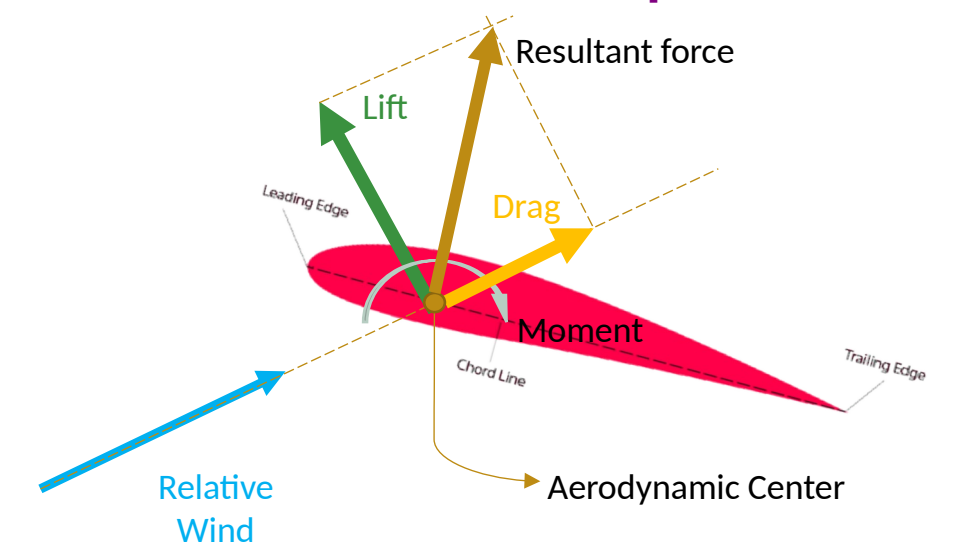
Source: FAA - Pilot Handbook of Aeronautical Knowledge 2016

- Poderíamos representar a força aerodinâmica resultante como estando aplicada ao Centro de Pressão (CP) do aerofólio.
- Mas o CP muda muito com a direção do vento relativo, e por isso não é muito útil na análise de estabilidade e controle.



Aerofólio: Centro Aerodinâmico

Alternativamente, podemos usar um sistema equipolente com uma força resultante aplicada a um ponto especial para o qual o momento aerodinâmico é "quase" constante:



O centro aerodinâmico (aerodynamic center, a.c) é o ponto no aerofólio para o qual o Momento Aerodinâmico é praticamente constante para uma ampla faixa de valores de α.

O a.c. está geralmente próximo de 0.25c a partir do bordo de ataque.



Usando análise dimensional (Teorema π de Buckingham), podemos mostrar que os parâmetros de similaridade (Número de Reynolds e Número de Mach) levam às seguintes expressões gerais:

$$F_{
m aero} = rac{1}{2}
ho V_{
m T}^2 S C_{
m F} = ar{q} S C_{
m F},$$

$$M_{
m aero} = rac{1}{2}
ho V_{
m T}^2 S \ell_{
m c} C_{
m M} = ar{q} S \ell_{
m c} C_{
m M},$$

$$\bar{q} = \frac{1}{2}\rho V_{\mathrm{T}}^2.$$

Usando análise dimensional (Teorema π de Buckingham), podemos mostrar que os parâmetros de similaridade (Número de Reynolds e Número de Mach) levam às seguintes expressões gerais:

$$F_{
m aero}=rac{1}{2}
ho V_{
m T}^2 S C_{
m F}=ar{q} S C_{
m F},$$
 Dimensionless coefficient.

Wing reference area.

Dynamic Pressure.

 $M_{
m aero}=rac{1}{2}
ho V_{
m T}^2 S \ell_{
m c} C_{
m M}=ar{q} S \ell_{
m c} C_{
m M},$ Dimensionless coefficient.

 $ar{q}=rac{1}{2}
ho V_{
m T}^2.$ Characteristic length: or .

Wing reference area.

Dynamic pressure.

Para contabilizar a direção do vento relativo, efeitos de compressibilidade, e outros fenômenos, os coeficientes adimensionais são considerados funções de outras variáveis:

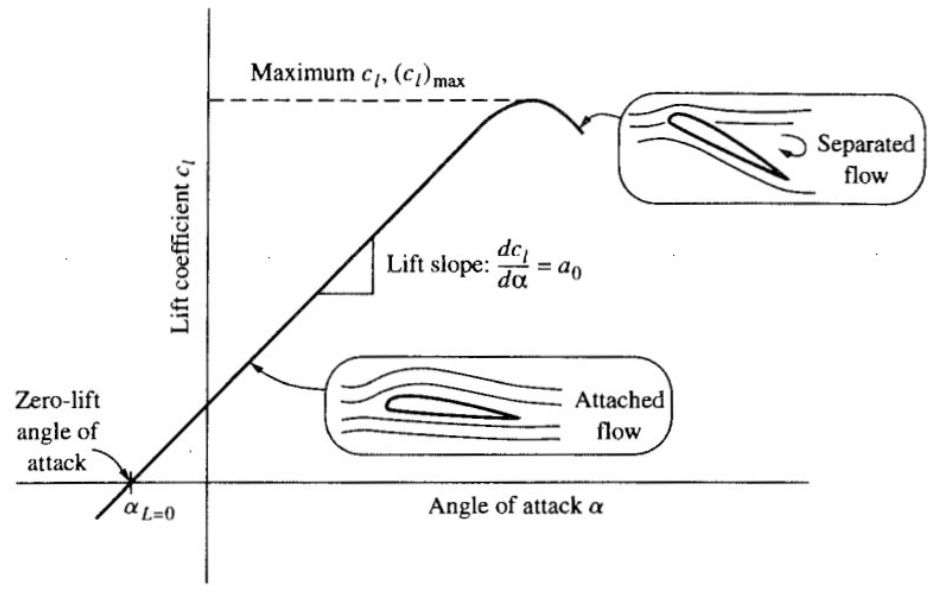
$$\frac{F_{
m aero}}{\bar{q}S} = C_{
m F} \equiv C_{
m F}(lpha,eta,M,h,\delta_{
m s},T_{
m c}),$$

$$\frac{\textit{M}_{\rm aero}}{\bar{q}\textit{S}\ell_{\rm c}} = \textit{C}_{\rm M} \equiv \textit{C}_{\rm M}(\alpha,\beta,\textit{M},\textit{h},\delta_{\rm s},\textit{T}_{\rm c}).$$

Para contabilizar a direção do vento relativo, efeitos de compressibilidade, e outros fenômenos, os coeficientes adimensionais são considerados funções de outras variáveis:

$$rac{F_{
m aero}}{ar q S} = C_{
m F} \equiv C_{
m F}(lpha,eta,M,h,\delta_{
m s},T_{
m c}),$$
 Thrust coefficient (to account for thrust interference generated by propeller wash):
$$rac{M_{
m aero}}{ar q S \ell_{
m c}} = C_{
m M} \equiv C_{
m M}(lpha,eta,M,h,\delta_{
m s},T_{
m c}). \qquad T_{
m c} = rac{{
m Thrust}}{ar q S_{
m D}}.$$
 Angle of attack. Altitude. Angle of sideslip. Angle of sideslip. Altitude. Angle of sideslip.

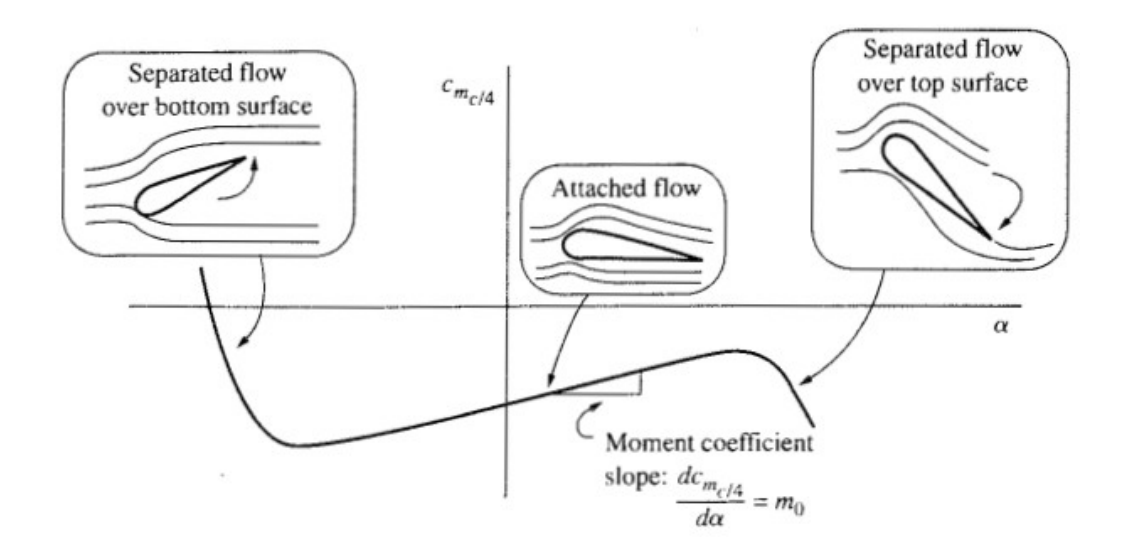
Típica curva do coeficiente de sustentação em função do ângulo de ataque α:



Source: "Aircraft Performance and Design", by John D. Anderson Jr., 2010, Figure 2.7



Típica curva do coeficiente de Momento de Arfagem em função do ângulo de ataque α:



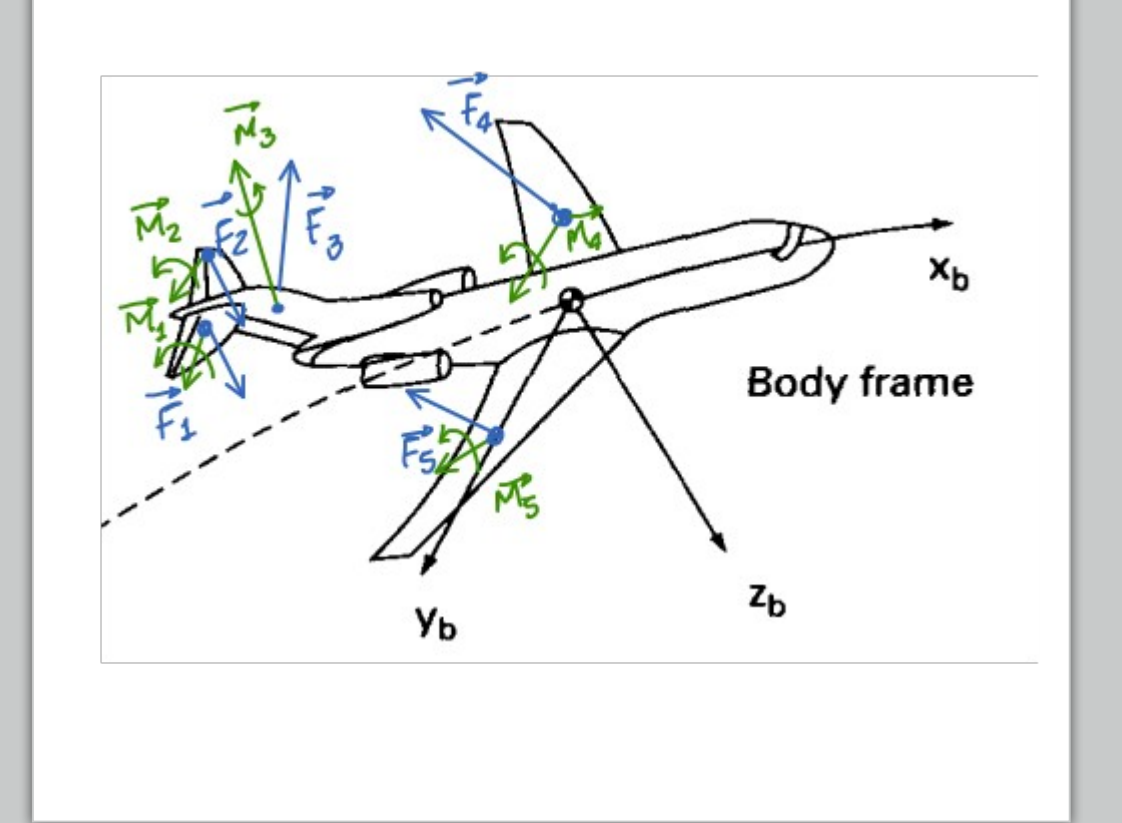
Source: "Aircraft Performance and Design", by John D. Anderson Jr., 2010, Figure 2.7



O Avião como um Todo

•A contribuição de cada força aplicada a cada empenagem e asa nos ajuda a entender a força e momento resultantes no projeto aerodinâmico do avião.

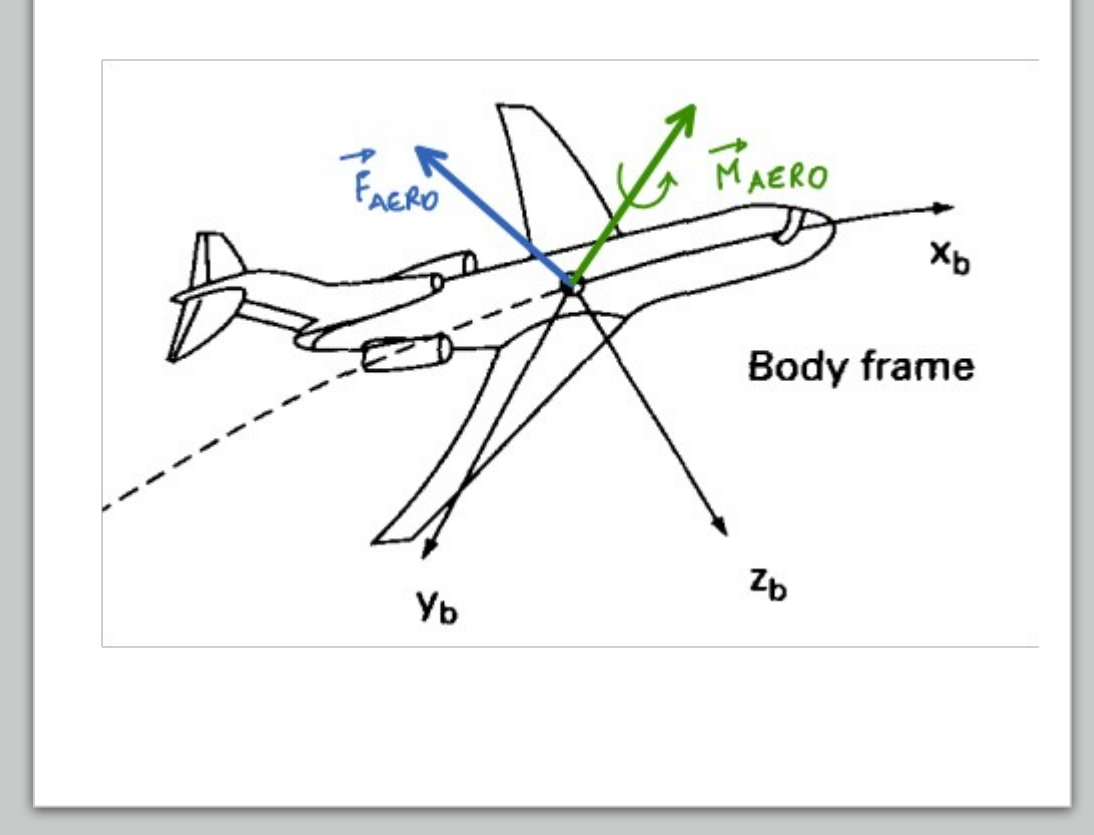
•Efeitos de interferência entre empenagens, asas, fuselagem, naceles, etc., ainda devem ser considerados na determinação final das forças e momentos.



O Avião como um Todo

•A Força e o Momento Aerodinâmico Resultantes são representados em relação ao Centro Aerodinâmico (Aerodynamic Reference Point - AeroRP).

O AeroRP é equivalente ao c.g. foi usado para se determinar (via CFD, Ensaios em Voo, e Modelos em Túnel de Vento) a Força e o Momento Aerodinâmicos Resultantes.





Forças e Momentos Aerodinâmicos

Um sumário das forças aerodinâmicas e dos momentos para o avião como um todo:

$$\operatorname{drag}, D = \overline{q} \ S \ C_D$$

$$\operatorname{lift}, L = \overline{q} \ S \ C_L$$

$$\operatorname{crosswind force}, C = \overline{q} \ S \ C_C$$

rolling moment,
$$\ell_w = \overline{q} \, S \, b \, C_{\ell}$$

pitching moment, $m_w = \overline{q} \, S \, \overline{c} \, C_m$
yawing moment, $n_w = \overline{q} \, S \, b \, C_n$

Forças e Momentos Aerodinâmicos

Um sumário das forças aerodinâmicas e dos momentos para o avião como um todo:

$$\mathrm{drag}, D = \overline{q} \ S \ C_D$$

$$\mathrm{lift}, L = \overline{q} \ S \ C_L$$

$$\mathrm{crosswind\ force}, C = \overline{q} \ S \ C_C$$

rolling moment,
$$\ell_w = \overline{q} S b C_{\ell}$$

pitching moment, $m_w = \overline{q} S \overline{c} C_m$
yawing moment, $n_w = \overline{q} S b C_n$

- b = wingspan.
- \overline{c} = m.a.c. (mean aerodynamic chord).

Componentes "Típicos" para Força Aerodinâmica:

$$C_{D} = C_{D}(\alpha, \beta, M, h) + \Delta C_{D}(M, \delta_{e}) + \Delta C_{D}(M, \delta_{r}) + \Delta C_{D}(\delta_{F})$$

$$+ \Delta C_{D}(\text{gear}) + \cdots \qquad (2.3-14)$$

$$C_{L} = C_{L}(\alpha, \beta, M, T_{c}) + \Delta C_{L}(\delta_{F}) + \Delta C_{L_{ge}}(h), \qquad (2.3-16)$$

$$C_{Y} = C_{Y}(\alpha, \beta, M) + \Delta C_{Y_{\delta r}}(\alpha, \beta, M, \delta_{r}) + \Delta C_{Y_{\delta a}}(\alpha, \beta, M, \delta_{a})$$

$$+ \frac{b}{2V_{T}} \left[C_{Y_{p}}(\alpha, M) P + C_{Y_{r}}(\alpha, M) R \right] \qquad (2.3-17a)$$

Control Componentes "Típicos" para Força Aerodinâmica: Inputs Configuration $C_D = C_D(\alpha, \beta, M, h) + \Delta C_D(M, \frac{\delta_e}{\delta_e}) + \Delta C_D(M, \frac{\delta_r}{\delta_r}) + \Delta C_D(\frac{\delta_r}{\delta_r})$ $+ \Delta C_D(\text{gear}) + \cdots$ Elevator deflection (2.3-14) $C_{L} = C_{L}(\alpha, \beta, M, T_{c}) + \Delta C_{L}(\delta_{F}) + \Delta C_{L_{ge}}(h), \qquad (2.3-16)$ $C_{Y} = C_{Y}(\alpha, \beta, M) + \Delta C_{Y_{\delta r}}(\alpha, \beta, M, \delta_{r}) + \Delta C_{Y_{\delta a}}(\alpha, \beta, M, \delta_{a}) \qquad \text{Aileron deflection}$ $+ \frac{b}{2V_{T}} \left[C_{Y_{p}}(\alpha, M) P + C_{Y_{r}}(\alpha, M) R \right] \qquad (2.3-17a)$

Componentes "Típicos" para o coeficiente do Momento de Arfagem Aerodinâmico:

$$C_{m} = C_{m}(\alpha, M, h, \delta_{F}, T_{c}) + \Delta C_{m_{\delta e}}(\alpha, M, h, \delta_{e}) + \frac{\overline{c}}{2V_{T}} [C_{m_{q}}Q + C_{m_{\dot{\alpha}}}\dot{\alpha}]$$

$$+ \frac{x_{R}}{\overline{c}} C_{L} + \Delta C_{m_{\text{thrust}}}(\delta_{t}, M, h) + \Delta C_{m_{\text{gear}}}(h)$$
(2.3-19a)

Componentes "Típicos" para o coeficiente do Momento de Arfagem Aerodinâmico:

$$C_{m} = C_{m}(\alpha, M, h, \delta_{F}, T_{c}) + \Delta C_{m_{\delta e}}(\alpha, M, h, \delta_{e}) + \frac{\overline{c}}{2V_{T}}[C_{m_{q}}Q + C_{m_{\dot{\alpha}}}\dot{\alpha}]$$

$$+ \frac{x_{R}}{\overline{c}}C_{L} + \Delta C_{m_{\text{thrust}}}(\delta_{t}, M, h) + \Delta C_{m_{\text{gear}}}(h)$$
Elevator deflection
$$(2.3-19a)$$
Thrust input

Componentes "Típicos" para o coeficiente do Momento de Arfagem Aerodinâmico:

$$C_{m} = C_{m}(\alpha, M, h, \delta_{F}, T_{c}) + \Delta C_{m_{\delta e}}(\alpha, M, h, \delta_{e}) + \frac{\overline{c}}{2V_{T}} [C_{m_{q}}Q + C_{m_{\dot{\alpha}}}\dot{\alpha}]$$

$$+ \frac{x_{R}}{\overline{c}}C_{L} + \Delta C_{m_{\text{thrust}}}(\delta_{t}, M, h) + \Delta C_{m_{\text{gear}}}(h)$$
(2.3-19a)

Unsteady aerodynamics: attempt to capture airflow dynamic effects following fast changes in α

Componentes "Típicos" para os coeficiente de Momento de Rolamento e Momento de Guinada Aerodinâmicos:

$$\begin{split} C_{\ell} &= C_{\ell}(\alpha,\beta,M) + \Delta C_{\ell_{\delta a}}(\alpha,\beta,M,\delta_r) + \Delta C_{\ell_{\delta r}}(\alpha,\beta,M,\delta_a) \\ &+ \frac{b}{2V_T} \left[C_{\ell_p}(\alpha,M) P + C_{\ell_r}(\alpha,M) R \right], \end{split} \tag{2.3-18a}$$

$$\begin{split} C_n &= C_n(\alpha,\beta,M,T_c) + \Delta C_{n_{\delta r}}(\alpha,\beta,M,\delta_r) + \Delta C_{n_{\delta a}}(\alpha,\beta,M,\delta_a) \\ &+ \frac{b}{2V_T} \left[C_{n_p}(\alpha,M) P + C_{n_r}(\alpha,M) R \right], \end{split} \tag{2.3-21a}$$

Control Componentes "Típicos" para os coeficiente de Momento de Rolamento e Inputs Momento de Guinada Aerodinâmicos: Configuration
$$\begin{split} C_{\ell} &= C_{\ell}(\alpha, \beta, M) + \Delta C_{\ell_{\delta a}}(\alpha, \beta, M, \underbrace{\delta_r}) + \Delta C_{\ell_{\delta r}}(\alpha, \beta, M, \underbrace{\delta_a}) \\ &+ \underbrace{\frac{b}{2V_T} \left[C_{\ell_p}\left(\alpha, M\right) P + C_{\ell_r}(\alpha, M) R \right]}_{\text{Rudder deflection}}, \end{split}$$
changes
$$\begin{split} C_n &= C_n(\alpha,\beta,M,\frac{T_c}{C}) + \Delta C_{n_{\delta r}}(\alpha,\beta,M,\frac{\delta_r}{C}) + \Delta C_{n_{\delta a}}(\alpha,\beta,M,\frac{\delta_a}{C}) \\ &+ \frac{b}{2V_T} \left[C_{n_p}\left(\alpha,M\right)P + C_{n_r}(\alpha,M)R \right], \end{split}$$

Trabalho Prático: Coeficientes Aerodinâmicos

Trabalho Prático: Coeficientes Aerodinâmicos

Escreva a expressão matemática para a composição de funções para cada um dos Coeficientes Aerodinâmicos para o seu avião, de modo a explicitar quais as tabelas e as variáveis correspondentes para a determinação do coeficiente.

Por Exemplo:

$$C_{m} = C_{m}(\alpha, M, h, \delta_{F}, T_{c}) + \Delta C_{m_{\delta e}}(\alpha, M, h, \delta_{e}) + \frac{\overline{c}}{2V_{T}} [C_{m_{q}}Q + C_{m_{\dot{\alpha}}}\dot{\alpha}]$$

$$+ \frac{x_{R}}{\overline{c}} C_{L} + \Delta C_{m_{\text{thrust}}}(\delta_{t}, M, h) + \Delta C_{m_{\text{gear}}}(h)$$
(2.3-19a)